

สำนักหอสมุด มหาวิทยาลัยบูรพา
ต.แสนสุข อ.เมือง จ.ชลบุรี 20131



รายงานการวิจัย

การเปลี่ยนแปลงรูปแบบของสารprotoในดินตะกอนและน้ำ บริเวณนิคมอุตสาหกรรมมาบตาพุด (ปีที่ 1)

แนวตาน ทองระอา¹
ฉลวย มุสิกะ²
วันชัย วงศ์ดาวรรณ³
อาวุช หมั่นหาผล⁴

วันที่ ๒๐๘๗/๒๖
๒๒ ม.ค. ๒๕๕๒
เริ่มบริการ
๒๓ ม.ค. ๒๕๕๒
248938

ได้รับทุนอุดหนุนการวิจัยจากงบประมาณแผ่นดิน ประจำปีงบประมาณ ๒๕๔๖
สถาบันวิทยาศาสตร์ทางทะเล มหาวิทยาลัยบูรพา

พ.ศ. ๒๕๔๗

การเปลี่ยนแปลงรูปแบบของสารprotoในคินตะกอนและน้ำ บริเวณนิคมอุดสาหกรรมมาบตาพุด

โดย

เวลา	ทองระอา
คลาด	มุสิกะ
วันที่	วงศุดาวรรณ
อาชีว	หมั่นหาผล

บทคัดย่อ

การศึกษาการเปลี่ยนแปลงรูปแบบของสารprotoในคินตะกอนและน้ำบริเวณนิคมอุดสาหกรรมมาบตาพุดในปัจจุบันประยุกต์เพื่อศึกษาการแพร่กระจายของสารprotoในน้ำทะเลบริเวณนิคมอุดสาหกรรมมาบตาพุด ศึกษาการแพร่กระจายของสารprotoในคินตะกอน และความสัมพันธ์ระหว่างปริมาณprotoรวมและคุณสมบัติทางฟิสิกส์และเคมีของคินตะกอน รวมทั้งศึกษารูปแบบทางเคมีของสารprotoในคินตะกอน และปริมาณprotoที่อยู่ในรูปแบบที่เข้าสู่สิ่งมีชีวิตได้ (bioavailable form)

ผลการศึกษาปริมาณprotoรวมในน้ำทะเล พบร่วมกับค่าเฉลี่ยมากทั้งในฤดูแล้งและฤดูฝน และต่ำกว่าค่ามาตรฐานคุณภาพน้ำชายฝั่งทะเลของไทยหลายเท่า กล่าวคือ ค่าเฉลี่ยที่พบในฤดูแล้งและฤดูฝนอยู่ระหว่าง $< 2 - 5.50$ และ $< 2 - 11.70$ แวนโนกรัมต่อลิตร ตามลำดับ สำหรับปริมาณprotoรวมในคินตะกอนในฤดูแล้ง พบร่วมกับค่าอยู่ในช่วงระหว่าง 0.006-0.130 ไมโครกรัมต่อกิโลกรัม น้ำหนักแห้ง และฤดูฝนมีค่าอยู่ในช่วงระหว่าง $< 0.0023 - 0.224$ ไมโครกรัมต่อกิโลกรัม น้ำหนักแห้ง ทั้งนี้ปริมาณprotoรวมในคินตะกอนที่ตรวจพบดังกล่าวมีค่าสูงกว่ามาตรฐานของสารprotoในคินตะกอนของบางประเทศ ปริมาณprotoรวมในคินตะกอนที่พบมีความสัมพันธ์ทางบวกกับค่าขั้งสูงมากกับออกไซด์ของเหล็ก ดินเหนียวสารอินทรีย์ และออกไซด์ของแมงกานีส โดยออกไซด์ของเหล็กเป็นองค์ประกอบในคินตะกอนที่มีบทบาทสำคัญมากในการคัดซับสารprotoมากกว่าองค์ประกอบอื่น และจากการศึกษาปริมาณprotoที่อยู่ในรูปแบบที่เข้าสู่สิ่งมีชีวิตได้พบว่ามีค่าน้อยไม่เกิน 22 % ของปริมาณprotoรวม โดยสอดคล้องกับผลการศึกษารูปแบบทางเคมีของสารprotoในคินตะกอน ซึ่งพบว่าสารprotoมีอยู่ 2 รูปแบบที่สำคัญ คือรูปที่จับรวมตัวกับสารอินทรีย์และชัลไฟด์ และรูปแบบที่อยู่ในโครงสร้างของแร่ธาตุในคิน ซึ่งเป็นรูปแบบที่ไม่เป็นอันตรายต่อสิ่งมีชีวิต

กิตติกรรมประกาศ

โครงการวิจัยเรื่องนี้เป็นโครงการวิจัยต่อเนื่องระยะเวลา 2 ปี เริ่มตั้งแต่ปี 2546-2547 สำหรับรายงานฉบับนี้เป็นการเสนอผลการวิจัยในปีที่ 1 ซึ่งได้รับทุนสนับสนุนการวิจัยจากบประมาณแผ่นดิน หมวดเงินอุดหนุน มหาวิทยาลัยบูรพา ประจำปีงบประมาณ 2546 คณะผู้ทำการวิจัยได้ขอขอบคุณเป็นอย่างมาก ไว้ ณ โอกาสนี้ ขอขอบคุณเจ้าหน้าที่สถาบันวิทยาศาสตร์ทางทะเลทุกท่านที่มีส่วนทำให้ งานวิจัยเรื่องนี้สำเร็จลุล่วงไปด้วยดี

สารบัญ

หน้า

สารบัญ	(1)
สารบัญตาราง	(2)
สารบัญภาพ	(4)
บทนำ	1
อุปกรณ์และวิธีการ	3
ผลและวิจารณ์ผล	10
เอกสารอ้างอิง	27

สารบัญตาราง

ตารางที่	หน้า
1 ตำแหน่งสถานีเก็บตัวอย่างน้ำทะเลและคินตะกอนบริเวณนิคมอุตสาหกรรม นาบตาพุดและบริเวณใกล้เคียง จังหวัดระยอง	4
2 % Recovery ของการวิเคราะห์ปริมาณprotoในน้ำทะเล	7
3 ผลการวิเคราะห์คินตะกอนทะเลมาตรฐาน (MESS-3)	7
4 การสกัดหารูปแบบทางเคมีของสารprotoในคินตะกอน โดยวิธี sequential extraction	8
5 Sequential extraction ของคินตะกอนทะเลมาตรฐานที่ทราบความเข้มข้น (MESS-3)	9
6 คุณสมบัติทางฟลิกส์และเคมีของคินตะกอนที่ทำการวิเคราะห์และวิธีวิเคราะห์ คุณภาพน้ำทะเลบริเวณชายฝั่งทะเล นิคมอุตสาหกรรมนาบตาพุด จังหวัดระยอง ในฤดูน้ำแล้ง (31 มีนาคม 2546)	10
7 คุณภาพน้ำทะเลบริเวณชายฝั่งทะเล นิคมอุตสาหกรรมนาบตาพุด จังหวัดระยอง ในฤดูฝน (2 ตุลาคม 2546)	11
8 คุณสมบัติคินตะกอนบริเวณชายฝั่งทะเล นิคมอุตสาหกรรมนาบตาพุด จังหวัด ระยอง ในฤดูแล้ง (31 มีนาคม 2546)	12
9 คุณสมบัติคินตะกอนบริเวณชายฝั่งทะเล นิคมอุตสาหกรรมนาบตาพุด จังหวัด ระยอง ในฤดูแล้ง (2 ตุลาคม 2546)	14
10 ปริมาณprotoรวมในน้ำทะเลบริเวณชายฝั่งทะเล นิคมอุตสาหกรรมนาบตาพุด จังหวัดระยอง ในฤดูแล้ง (31 มีนาคม 2546) และฤดูฝน (2 ตุลาคม 2546) (หน่วยเป็น ng L ⁻¹)	15
11 คุณภาพน้ำทึบจากบริเวณโดยรอบนิคมอุตสาหกรรมนาบตาพุดและบริเวณ ใกล้เคียง ในฤดูแล้ง (12 พฤษภาคม 2546) และฤดูฝน (30 กันยายน 2546)	16
12 ปริมาณprotoในคินตะกอนบริเวณชายฝั่งทะเล นิคมอุตสาหกรรมนาบตาพุด จังหวัดระยอง ใน ฤดูแล้ง (31 มีนาคม 2546) และฤดูฝน (2 ตุลาคม 2546) (ค่าเฉลี่ย ± ความคลาดเคลื่อนมาตรฐาน) (n = 6)	17
13 เกณฑ์มาตรฐานของสารprotoในน้ำทะเลและคินตะกอน	19

ตารางที่	หน้า
15 ค่าสัมประสิทธิ์สหสัมพันธ์ระหว่างปริมาณprotoในดินตะกอนและคุณสมบัติของดินตะกอนในฤดูแล้ง (31 มีนาคม 2546) ($n = 48$ ยกเว้น CEC = 24)	23
16 ค่าสัมประสิทธิ์สหสัมพันธ์ระหว่างปริมาณprotoในดินตะกอนและคุณสมบัติของดินตะกอนในฤดูน้ำมาก (2 ตุลาคม 2546) ($n = 48$ ยกเว้น CEC = 24)	24

สารมาณภาพ

ภาพที่	หน้า
1 สถานีเก็บตัวอย่างน้ำทะเลและดินตะกอนบริเวณนิคมอุตสาหกรรมนาบตาพุด และบริเวณไกลีเดียง จังหวัดระยอง	5
2 ความสัมพันธ์ระหว่างปริมาณprotoที่ในน้ำทึบกับสารอินทรีย์ที่ละลายนำ้ในรูปของ Humic acid ซึ่งพบในถุงฟุ่น (2 ตุลาคม 2546)	18
3 ปริมาณprotoที่ในดินตะกอนบริเวณนิคมอุตสาหกรรมนาบตาพุด ในถุงแล้ง (31 มีนาคม 2546) และถุงฟุ่น (2 ตุลาคม 2546) (ค่าเฉลี่ย ± ความคลาดเคลื่อนมาตรฐาน, n =6)	21
4 รูปแบบทางเคมีของสารprotoที่ในดินตะกอนบริเวณนิคมอุตสาหกรรมนาบตาพุด จังหวัดระยอง (ก) ถุงแล้ง (31 มีนาคม 2546) (ข) ถุงฟุ่น (2 ตุลาคม 2546)	26

การเปลี่ยนแปลงรูปแบบของสารprotoในดินตะกอนและน้ำ

บริเวณนิคมอุตสาหกรรมนาบตาพุด

บทนำ

proto เป็นโลหะหนักชนิดหนึ่งที่มีความเป็นพิษสูงสุดต่อสิ่งมีชีวิต เนื่องจากมีความคงตัวสูง ในสภาพแวดล้อม มีความเป็นพิษสูงถึงแม้ว่าในระดับความเข้มข้นต่ำๆ สามารถสะสมและเพิ่มขยายทาง ชีวภาพ (biomagnification) ในห่วงโซ่อาหาร สารprotoที่สะสมในห่วงโซ่อาหารสามารถทำให้เกิด อันตรายร้ายแรงต่อสุขภาพอนามัยของมนุษย์ได้จากการบริโภคอาหารทะเลที่มีการปนเปื้อนสารproto ดังจะเห็นได้จากมหันตภัยร้ายแรงของโรคminamataที่เกิดในประเทศญี่ปุ่น เป็นต้น

protoสามารถเข้าสู่แหล่งน้ำได้ทั้งจากกระบวนการธรรมชาติ และจากกิจกรรมของมนุษย์ และเกิด ได้ในหลายรูปแบบ (chemical forms) ขบวนการอันซับซ้อนทางด้านฟิสิกส์ เคมี และชีววิทยา ส่งผล ตุณท้ายให้สารprotoส่วนใหญ่เข้าไปสะสมอยู่ในดินตะกอน อย่างไรก็ตาม สารprotoในดินตะกอน สามารถถูกปลดปล่อยกลับสู่แหล่งน้ำได้อีก โดยขบวนการต่างๆ สารprotoที่ถูกปลดปล่อยออกจากดิน ตะกอนสามารถทำอันตรายต่อสัตว์น้ำ และสะสมได้ในห่วงโซ่อาหาร ดังนั้น ดินตะกอนจึง เปรียบเสมือนเป็นทั้งแหล่งเก็บ (sink) และแหล่งปล่อย (source) ของสารprotoในแหล่งน้ำ ด้วยเหตุนี้ พฤติกรรมและการเปลี่ยนแปลงของสารprotoในดินตะกอนจึงได้รับความสนใจในการศึกษาเพิ่มมาก ขึ้นในช่วงปีที่ผ่านมา

ประเทศไทยได้ประสบปัญหาการเพิ่มขึ้นของสารprotoในบริเวณชายฝั่งทะเลอันเนื่องมาจากการพัฒนาอุตสาหกรรม และการบุกเบิกก้าชธรรมชาติในอ่าวไทย (Chongprasith and Wilairatanadil, 1999) นิคมอุตสาหกรรมนาบตาพุด จังหวัดยะลา เป็นที่ตั้งของอุตสาหกรรมหนักที่สำคัญบริเวณ ชายฝั่งทะเลภาคตะวันออกอันได้แก่ โรงงานแยกก้าชธรรมชาติ อุตสาหกรรมปิโตรเคมี อุตสาหกรรมปูย์เคมี อุตสาหกรรมโรงกลั่นน้ำมัน เป็นต้น และเป็นพื้นที่หนึ่งที่ตรวจพบว่ามีสารproto สูงเกินกว่ามาตรฐานที่กำหนดในบางสถานีและบางปี ทั้งนี้ได้มีรายงานการตรวจพบสารprotoในน้ำ ทะเลบริเวณนิคมอุตสาหกรรมนาบตาพุด ในระหว่างปี 2538-2541 มีค่าอยู่ในช่วงระหว่าง 0.01 - 0.48 $\mu\text{g/L}$ ซึ่งสูงเกินกว่าค่ามาตรฐานของprotoในน้ำทะเลชายฝั่งของประเทศไทยที่กำหนดไว้ให้มีค่าไม่เกิน 0.1 $\mu\text{g/L}$ โดยปริมาณสารprotoที่ตรวจพบสูงอยู่ในระหว่างปี 2538 - 2539 (Chongprasith and Wilairatanadilok, 1999) นอกจากนี้ยังตรวจพบปริมาณสารprotoค่อนข้างสูงในดินตะกอน บริเวณนิคม อุตสาหกรรมนาบตาพุดอีกด้วย (Chongprasith and Wilairatanadilok, 1999; EVS Environment Consultants, 1999) ปริมาณสารprotoที่ตรวจพบสูงที่สุดในน้ำทะเลและดินตะกอนบริเวณนิคม อุตสาหกรรมนาบตาพุด เป็นข้อเตือนใจให้หน่วยงานของรัฐที่เกี่ยวข้อง โดยเฉพาะกรมควบคุมมลพิษ

ได้ตระหนักถึงปัญหาการปนเปื้อนของสารprototh ในบริเวณนิคมอุตสาหกรรม และกำหนดไว้เป็นปัญหาในระดับชาติที่จะต้องดำเนินการป้องกัน และแก้ไข รวมตลอดถึงการติดตามตรวจสอบการปนเปื้อนของสารprototh ในน้ำ ดินตะกอน ตลอดจนสิ่งมีชีวิตอย่างสมำเสมอ

อย่างไรก็ตามข้อมูลของปริมาณprotothทั้งในน้ำ และดินตะกอน ในอดีต และปัจจุบัน พบว่าส่วนใหญ่ รายงานไว้ในรูปของบริมาณprotothรวม (total Hg) ซึ่งจะไม่ค่อยมีประโยชน์มากนักในเบื้องของการประเมินผลกระทบที่มีต่อสิ่งแวดล้อม เนื่องจากปริมาณprotothรวมไม่ใช่เป็นปริมาณprotothที่สิ่งมีชีวิตสามารถรับเข้าสู่ร่างกายได้ทั้งหมด สารprotothบางรูปเท่านั้นที่สามารถเข้าสู่ร่างกายของสิ่งมีชีวิตได้ หรือเรียกว่า "bioavailable form" ซึ่งจะสามารถบ่งบอกได้ถึงระดับความเป็นพิษ (toxicity) หากรับเข้าสู่ร่างกายมากเกินไป ดังนั้นข้อมูลของปริมาณprotothรวมแต่เพียงอย่างเดียว ไม่สามารถบ่งชี้ถึง bioavailability และความเป็นพิษ ที่มีต่อสิ่งมีชีวิตใดๆ ได้เลย เนื่องจากทั้ง bioavailability และความเป็นพิษของprototh หรือโลหะชนิดอื่นๆ ขึ้นอยู่กับรูปแบบทางเคมี (chemical speciation) ของโลหะชนิดนั้นๆ (Luoma, 1983; Bryan and Langston, 1992) สำหรับในน้ำทะเลเด่นนั้น protothในรูปละลาย (dissolved Hg) จัดว่าเป็น bioavailable form ส่วนในดินตะกอนนั้น protothในรูปของที่ละลายออกจากดินตะกอนได้ง่าย (more soluble fractions) เท่านั้น จึงจะจัดว่าเป็น bioavailable form ดังนั้น จึงมีความจำเป็นที่จะต้องตรวจหาprotothในรูปของ bioavailable form ทั้งในน้ำทะเล และดินตะกอน ในบริเวณนิคมอุตสาหกรรม นาบตาพุด

โดยทั่วไปแล้ว ปริมาณโลหะหนักในน้ำทะเล ยังถูกควบคุมโดยกระบวนการที่สำคัญ ได้แก่ การดูดซับ (adsorption) และการปลดปล่อย (desorption) ทั้งสองกระบวนการดังกล่าวมีบทบาทที่สำคัญมากต่อการแพร่กระจาย และการเคลื่อนย้ายกลับไปกลับมา (remobilization) ของprotothในน้ำ และดินตะกอน ซึ่งทั้งสองกระบวนการยังมีอิทธิพลของปัจจัยแวดล้อมอื่นๆ มาเกี่ยวข้องด้วย เช่น การเปลี่ยนแปลงความเค็ม ความเป็นกรดเป็นด่าง การมีออกซิเจน หรือไร้ออกซิเจน (redox potential; Eh) ปริมาณสารอินทรีย์ และ chelating agents บางชนิด เป็นต้น

ความรู้ ความเข้าใจในเรื่องดังกล่าวข้างต้น จะช่วยทำให้เราเข้าใจดียิ่งขึ้น ถึงการนำพา (transport) การเปลี่ยนแปลงรูปแบบ (transformation) และ เส้นทางเดิน (fate) ของสารprototh หลังจากถูกปล่อยออกมานานาทิ้งของโรงงานอุตสาหกรรมลงสู่ทะเล รวมถึง bioavailability และความเป็นพิษ ของสารprotothที่อาจมีต่อสัตว์น้ำ หรือสิ่งมีชีวิตอื่นในบริเวณนิคมอุตสาหกรรมนานาพุด ซึ่งข้อมูลดังกล่าวมีอยู่จำกัด หรือน้อยมากในประเทศไทย โดยเฉพาะในบริเวณนิคมอุตสาหกรรมนานาพุดซึ่งเป็นพื้นที่หนึ่งที่มีปัญหาการปนเปื้อนของสารprotothยังไม่มีปรากฏในรายงานการศึกษามาก่อน

วัตถุประสงค์ของโครงการวิจัย

วัตถุประสงค์ของโครงการโดยทั่วไป เพื่อให้เกิดความรู้ ความเข้าใจ ที่ดีขึ้นเกี่ยวกับพฤติกรรม และการเปลี่ยนแปลงรูปแบบของสารprototh เมื่อเข้าสู่น้ำ และดินตะกอน ในบริเวณนิคมอุตสาหกรรม

nabata พุด ปริมาณprotoที่ในน้ำ และคินตะกอนที่สามารถเข้าสู่ร่างกายสัตว์นำไปได้ (bioavailable form) ปรากฏการณ์การดูดซับ (adsorption) และการปลดปล่อย (desorption) ของสารprotoที่เกิดขึ้นในคินตะกอน และปัจจัยแวดล้อมที่มีอิทธิพล ตลอดจนปริมาณprotoที่สะสมอยู่ในสัตว์ทะเล สำหรับวัตถุประสงค์จำเพาะสามารถจำแนกได้ดังนี้

1. ศึกษาการแพร่กระจายของสารproto ในน้ำทะเลบริเวณนิคมอุตสาหกรรม nabata พุด
 2. ศึกษาการแพร่กระจายของสารprotoในคินตะกอน และความสัมพันธ์ระหว่างปริมาณproto รวม และคุณสมบัติทางฟิสิกส์และเคมี ของคินตะกอน
 3. ศึกษารูปแบบทางธรณีเคมี (geochemical forms) ของสารprotoในคินตะกอน และประเมินค่า bioavailable form ของสารprotoในคินตะกอน
 4. ศึกษาขบวนการดูดซับ (adsorption) และการปลดปล่อย (desorption) ของสารproto และประเมินค่าความจุ (capacity) ของคินตะกอนที่จะสามารถดูดซับ และปลดปล่อยสารprotoออกมากสูงสุดน้ำ ตลอดจนความสัมพันธ์ระหว่างคุณสมบัติทางฟิสิกส์และเคมี ของคินตะกอนที่มีต่อขบวนการทั้งสอง
 5. ศึกษาอิทธิพลของความเค็ม ที่มีต่อขบวนการดูดซับ และการปลดปล่อยสารproto เนื่องจากความเค็มมีผลต่อการเปลี่ยนแปลงรูปแบบทางเคมีของproto (Hg species) จากขบวนการ chloride complexation ซึ่งจะส่งผลต่อการดูดซับสารprotoเข้าสู่คินตะกอน
 6. ศึกษาปริมาณการสะสมของสารprotoในสัตว์ทะเลที่มีคุณค่าทางเศรษฐกิจบริเวณดังกล่าว และความสัมพันธ์ระหว่างปริมาณprotoทักษะหรือหนักของสัตว์ทะเล
- เนื่องจากโครงการวิจัยดังกล่าวเป็นโครงการต่อเนื่อง 2 ปี (ปีงบประมาณ 2546-2547) โดยวัตถุประสงค์ของการวิจัยในปีงบประมาณ 2546 ครอบคลุมวัตถุประสงค์ในข้อ 1-3 และวัตถุประสงค์ของการวิจัยในปีงบประมาณ 2547 ครอบคลุมวัตถุประสงค์ในข้อ 4-6 ดังนั้นรายงานฉบับนี้จึงรายงานเฉพาะผลการวิจัยในปีแรกเท่านั้น

อุปกรณ์และวิธีการ

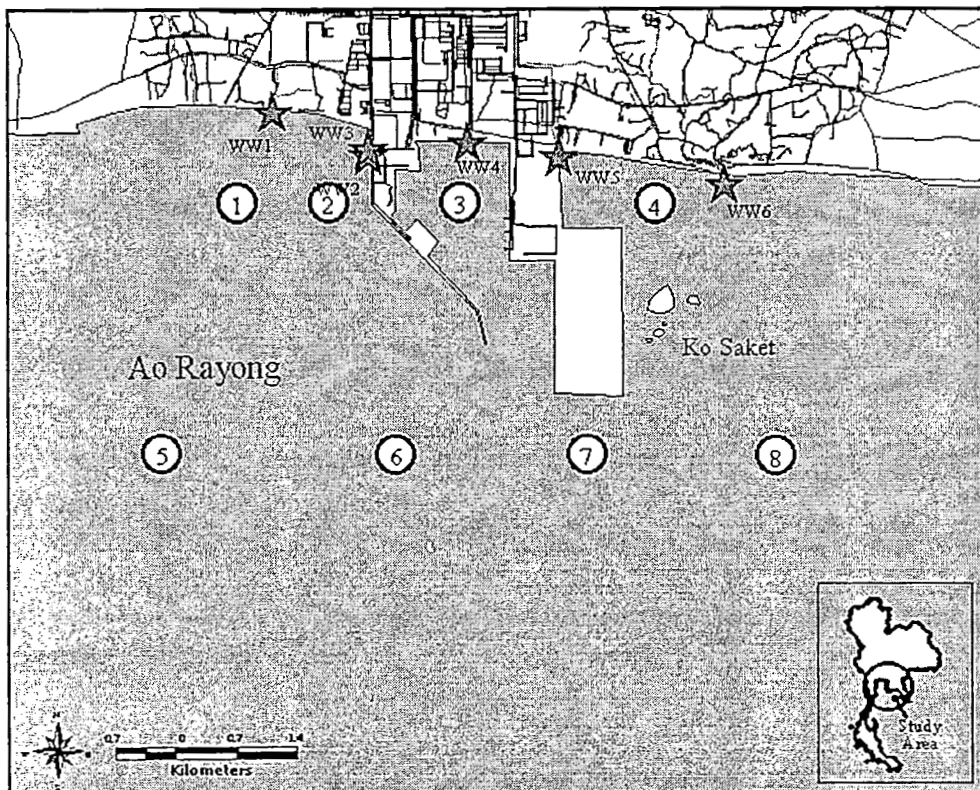
1. การสำรวจพื้นที่ และกำหนดสถานีเก็บตัวอย่าง

ทำการสำรวจพื้นที่โดยประสานงานกับสำนักงานนิคมอุตสาหกรรม nabata พุด จังหวัดระยอง เพื่อกำหนดสถานีเก็บตัวอย่างในบริเวณนิคมอุตสาหกรรม nabata พุด ให้ครอบคลุมพื้นที่ของนิคมอุตสาหกรรม nabata พุด และพื้นที่ที่ได้รับอิทธิพลจากน้ำทิ้งของนิคมอุตสาหกรรมพาเดงและนิคมอุตสาหกรรมตะวันออก ทั้งนี้ได้แบ่งชุดเก็บตัวอย่างออกเป็น 2 แนวคือ ระยะไกลฝั่ง 500-1000 เมตร (สถานี 1-4) และระยะใกล้ฝั่งไม่เกิน 5 กิโลเมตร (สถานี 5-8) เพื่อดูการแพร่กระจาย โดยมีจุดเก็บ

ตัวอย่างทั้งหมด 8 สถานี นอกจากนี้ได้กำหนดสถานีเก็บตัวอย่างนำทั้งบนฝั่งเพิ่มอีก 6 สถานีด้วย (WW1 – WW6) รายละเอียดสถานีเก็บตัวอย่างแสดงในตารางที่ 1 และภาพที่ 1

ตารางที่ 1 ตำแหน่งสถานีเก็บตัวอย่างนำทั้งหมดและคืนตะกอนบริเวณนิคมอุตสาหกรรมนาบตาพุดและบริเวณใกล้เคียง จังหวัดระยอง

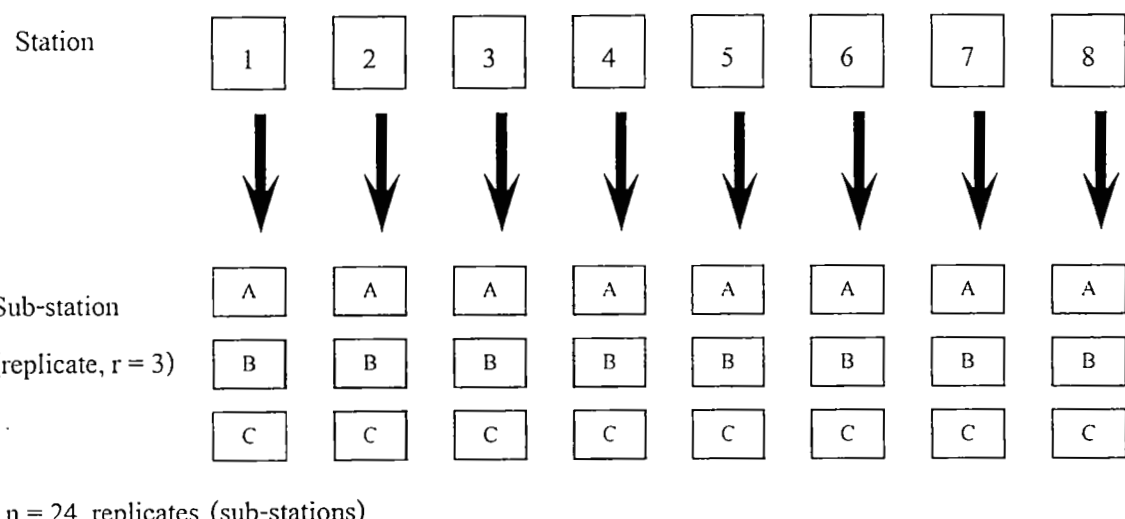
Station No.	Latitude	Longitude	Remark
1	N 12° 39' 57.8"	E 101° 07' 13.9"	
2	N 12° 39' 29.9"	E 101° 08' 04.2"	
3	N 12° 39' 39.4"	E 101° 08' 49.3"	
4	N 12° 39' 21.3"	E 101° 10' 36.7"	
5	N 12° 37' 30.8"	E 101° 06' 25.2"	
6	N 12° 37' 38.6"	E 101° 07' 41.9"	
7	N 12° 37' 38.8"	E 101° 09' 55.8"	
8	N 12° 37' 56.1"	E 101° 11' 25.9"	
WW1	N 12° 40' 14.1"	E 101° 07' 25.0"	Wastewater sampling
WW2	N 12° 40' 08.9"	E 101° 08' 09.0"	Wastewater sampling
WW3	N 12° 40' 09.9"	E 101° 08' 09.7"	Wastewater sampling
WW4	N 12° 40' 0.3"	E 101° 08' 55.8"	Wastewater sampling
WW5	N 12° 40' 17.5"	E 101° 09' 38.8"	Wastewater sampling
WW6	N 12° 39' 44.6"	E 101° 10' 59.6"	Wastewater sampling



ภาพที่ 1 สถานีเก็บตัวอย่างน้ำทะเลและคินตะกอนบริเวณนิคมอุตสาหกรรมนาบตาพุด
และบริเวณใกล้เคียง จังหวัดระยอง

2. ระยะเวลาและวิธีการเก็บตัวอย่างน้ำทะเล และดินตะกอน

เก็บตัวอย่างน้ำทะเลและดินตะกอน รวม 2 ครั้ง คือในฤดูน้ำทิ้งหรือฤดูแล้งในวันที่ 31 มีนาคม 2546 และฤดูน้ำมากหรือฤดูฝนในวันที่ 2 ตุลาคม 2546 สำหรับตัวอย่างน้ำทิ้งเก็บในวันที่ 12 พฤษภาคม 2546 และวันที่ 30 กันยายน 2546 เพื่อศึกษาอิทธิพลของฤดูกาลที่มีต่อการสะสมสารปรอทในน้ำและดินตะกอน ในแต่ละสถานีได้แบ่งออกเป็น 3 sub-stations โดยมีระยะห่างกันประมาณ 50 เมตร เพื่อให้มีจำนวนช้าของการเก็บตัวอย่างสถานีละ 3 ช้า รวมทั้งหมด 24 sub-stations หรือ 24 ช้า ดังรายละเอียดในแผนผัง



ตัวอย่างน้ำทะเลเก็บโดยใช้เครื่องมือเก็บตัวอย่างน้ำที่ไม่ได้ทำด้วยโลหะ (Niskin non-metallic convertible water sampler) ที่ความลึก 2 ระดับ คือ ผิวน้ำ และเหนือพื้นดิน ตัวอย่างน้ำที่ได้จะเก็บในขวดแก้วไฟเรืองซึ่งมีฝารองในเป็น Teflon พร้อมทั้งเติมกรดไฮโคลอริกเข้มข้น เพื่อให้ pH ของน้ำต่ำกว่าหรือเท่ากับ 2 ($pH \leq 2$) และเก็บในถังแข็งเย็น นอกจากนี้ทำการตรวจคุณภาพน้ำขึ้นพื้นฐาน ได้แก่ อุณหภูมิ ความเค็ม ความเป็นกรด-ด่าง ความโปร่งแสง ออกซิเจนละลายน้ำ และสารอินทรีย์ที่ละลายน้ำในรูปของ Fluorescence intensity unit (DOC Fluorescence) ตามวิธีของ Hayase and Tsubota (1985) ของแต่ละสถานีไว้ด้วย

สำหรับดินตะกอน เก็บโดยใช้เครื่องเก็บตัวอย่างดินแบบ Petersen grab หลังจากนั้นนำมาเก็บไว้ในถุงแข็ง และทำให้แห้งโดยใช้เครื่อง Freeze dryer

3. การวิเคราะห์หาปริมาณปรอท (Mercury Analysis)

ปริมาณปรอทในน้ำทะเลทำการสกัดตัวอย่างโดยใช้วิธี BrCl oxidation วิเคราะห์โดยใช้เทคนิค Cold Vapour Atomic Fluorescence Spectrometry (CVAFS) และวัดหาความเข้มข้นด้วยเครื่อง

Atomic Fluorescence Spectrophotometer (P.S. Analytical Ltd. รุ่น Merlin) ส่วนดินตะกอนทำการสกัดด้วยส่วนผสมของ 9:1 HNO₃/HCl ตามวิธีของ Randlesome and Aston (1980) วิเคราะห์โดยใช้เทคนิค Cold Vapour Atomic Absorption Spectrometry (CVAAS) และวัดหาความเข้มข้นด้วยเครื่อง Z4100 Atomic Absorption Spectrophotometer (Perkin-Elmer) ใช้ระบบ Flow Injection Mercury Hydried System (FI-MHS) ทำการวิเคราะห์ตัวอย่างละ 2 ชั้ง

ความถูกต้องของผลการวิเคราะห์ สำหรับตัวอย่างน้ำทะเลตรวจสอบโดยการหาค่า % recovery หลังจากที่เพิ่มสารละลายน้ำตาลของprotothที่ทราบความเข้มข้นลงในตัวอย่างน้ำทะเล พบว่า % recovery มีค่าอยู่ในช่วงระหว่าง 88.44-102.49 % (ตารางที่ 2) ส่วนตัวอย่างดินตะกอนตรวจสอบกับดินตะกอนทะเลมาตรฐานที่ทราบความเข้มข้น (Marine Sediment Reference Material; MESS-3) จาก National Research Council Canada นอกจากนี้ตรวจสอบความแม่นยำของผลการวิเคราะห์ (precision) โดยคำนวณหาค่า % RSD (Relative Standard Deviation) ดังแสดงในตารางที่ 3

ตารางที่ 2 % Recovery ของการวิเคราะห์ปริมาณprotothในน้ำทะเล

Sample	Hg Added ($\mu\text{g L}^{-1}$)	Hg Found ($\mu\text{g L}^{-1}$)	% Recovery
A	0	0.0042	
A	0.01	0.0130	88.44
B	0	0.0042	
B	0.01	0.0135	93.64
C	0	0.0026	
C	0.01	0.0114	88.44
D	0	0.0083	
D	0.01	0.0182	98.85
E	0	0.0026	
E	0.1	0.0999	97.28
F	0	0.0068	
F	0.1	0.1046	97.80
G	0	0.0078	
G	0.1	0.1056	97.80
H	0	0.0036	
H	0.1	0.1061	102.49

ตารางที่ 3 ผลการวิเคราะห์ดินตะกอนทะเลมาตรฐาน (MESS-3)

Heavy Metal	Certified Value ($\mu\text{g g}^{-1}$ dry weight)	Measured Value ($\mu\text{g g}^{-1}$ dry weight) (n = 9)	% Recovery	% RSD
Hg	0.091 ± 0.009	0.087 ± 0.008	81.32 - 109.89	9.25

4. การศึกษารูปแบบทางเคมีของสารปรอทในดินตะกอน (Fractionation of Mercury in Sediments)

รูปแบบทางเคมีของสารปรอทในดินตะกอนทำการศึกษาโดยใช้เทคนิค sequential extraction ตามวิธีของ Tessier et al. (1979) ซึ่งได้แบ่งรูปแบบทางเคมีของโลหะในดินตะกอนไว้ 5 รูป ได้แก่

- F1 exchangeable
- F2 bound to carbonates
- F3 bound to Fe and Mn oxides
- F4 bound to organic matter and sulfide
- F5 residual

นำดินตะกอนของแหล่งสถานีที่ทำให้แห้งแล้ว มาทำการสกัดอย่างต่อเนื่องตามลำดับ ตามวิธีที่ได้อธิบายไว้ใน Tessier et al (1979) ดังแสดงในตารางที่ 4 ทำการทดลองตัวอย่างละ 2 ชั้น ข้อมูลที่ได้จะบอกถี่ยนของรูปแบบทางเคมีของสารปรอทในดินตะกอน นอกจากนี้สามารถใช้ในการทำนายหรือประเมินค่า bioavailability และการเคลื่อนที่ (mobility) ของสารปรอทในดินตะกอนอีกด้วย

ตารางที่ 4 การสกัดหารูปแบบทางเคมีของสารปรอทในดินตะกอน โดยวิธี sequential extraction

Fraction	Extracted Component	Extractant	Process
F1	Exchangeable	8 mL of 1 M MgCl_2 , pH 7.0	Shake for 1 h
F2	Bound to Carbonates	8 mL of 1 M NaOAc , (pH 5.0 with HOAc)	Shake for 5 h
F3	Bound to Fe-Mn Oxides	20 mL of 0.04 M $\text{NH}_2\text{OH} \cdot \text{HCl}$ in 25% (V/V) HOAc	$96 \pm 3^\circ\text{C}$ for 6 h. Occasional shaking
F4	Bound to Organic Matter and Sulfide	(a) 3 mL of 0.02 M HNO_3^+ 5 mL of 30% H_2O_2 (pH 2.0 with HNO_3) (b) 3 mL of 30% H_2O_2 (pH 2.0 with HNO_3) (c) 5 mL of 3.2 M NH_4OAc in 20% (V/V) HNO_3 And dilute to 20 mL	(a) Heat to $85 \pm 2^\circ$ for 2 h with occasional shaking (b) Heat to $85 \pm 2^\circ$ for 3 h with intermittent shaking, then cool (c) shake for 30 min
F5	Residual	9:1 $\text{HNO}_3 / \text{HCl}$ mixture	Same technique as for total Hg analysis in sediments

สำหรับความถูกต้องของวิธี sequential extraction ตรวจสอบโดยนำดินตะกอนทະเดามาตรฐานที่ทราบความเข้มข้น (Marine Sediment Reference Material; MESS-3) มาทำการสกัดพร้อมกับตัวอย่าง แล้วนำผลรวมของทั้ง 5 fraction มาเปรียบเทียบกับค่าความเข้มข้นของปรอท (certified value) ในดินตะกอนทະเดามาตรฐาน ผลการศึกษาแสดงในตารางที่ 5

ตารางที่ 5 Sequential extraction ของดินตะกอนทะเลมาตรฐานที่ทราบความเข้มข้น (MESS-3)

Fraction	MESS-3 ($\mu\text{g g}^{-1}$ dry weight)				Mean \pm SD
	1	2	3	4	
F1	0.0023	0.0007	nd	nd	
F2	nd	nd	nd	nd	
F3	0.0028	0.0037	0.0033	0.0029	
F4	0.0076	0.0059	0.0029	0.0020	
F5	0.1077	0.0916	0.1012	0.1074	
Sum	0.120	0.102	0.107	0.112	0.111 \pm 0.008
Certified value	0.091	0.091	0.091	0.091	0.091
% Recovery	132.31	111.98	118.02	123.41	121.43 \pm 8.63

หมายเหตุ: F1 และ F2 nd = 0.0003 $\mu\text{g g}^{-1}$ dry weight

5. การสกัดหาปริมาณprotoที่สามารถเข้าสู่สิ่งมีชีวิตได้ (Extraction of Bioavailable Form of Mercury in Sediments)

protoในรูปของ bioavailable form ในดินตะกอน ทำการสกัดโดยใช้ selective dissolution technique ซึ่งทำการสกัดด้วย 0.5 N HCl ตามวิธีของ Chester and Voutsinou (1981) ทำการวิเคราะห์ตัวอย่างละ 2 ชั้น

6. การวิเคราะห์คุณสมบัติของดินตะกอน (Sediment Characterization)

วิเคราะห์คุณสมบัติทางฟิสิกส์และเคมีของดินตะกอน ตัวอย่างละ 2 ชั้น เพื่อใช้ในการหาความสัมพันธ์กับปริมาณprotoที่สะสมอยู่ในดินตะกอน โดยการคำนวณหาค่าสัมประสิทธิ์สหสัมพันธ์แบบเพียร์สัน (Pearson correlation coefficient, r) ด้วยโปรแกรม SPSS 10.0 คุณสมบัติของดินตะกอนที่ทำการวิเคราะห์และวิธีวิเคราะห์แสดงในตารางที่ 6

ตารางที่ 6 คุณสมบัติทางพิสิกส์และเคมีของดินตะกอนที่ทำการวิเคราะห์และวิจัยเคราะห์

Parameter	Method of Analysis	Reference
pH	pH meter (1:2.5 sediment: water)	
Cation exchange capacity (CEC)	Ammonium acetate saturation *	
Organic matter	Acid-dichromate oxidation	Nelson and Sommers (1982)
Calcium carbonate	Gravimetric method for loss of carbon dioxide	Goh et al.(1993)
Total Fe and Mn oxides	Dithionite-citrate method	Ross and Wang (1993)
Amorphous Fe and Mn oxides	Acid ammonium oxalate	Ross and Wang (1993)
Particle size distribution	Hydrometer method	Sheldrick and Wang (1993)
Sediment texture	Textural triangle	Hillel (1998)

* วิเคราะห์โดย ภาควิชาปฐพิทยา คณะเกษตร มหาวิทยาลัยเกษตรศาสตร์

ผลและวิจารณ์ผล

ผลการศึกษา พบว่า คุณภาพน้ำทะเลพื้นฐานโดยทั่วไปทั้ง 2 ถู มีค่าไม่แตกต่างกันมากนัก ดังแสดงในตารางที่ 7 และ 8

ตารางที่ 7 คุณภาพน้ำทะเลบริเวณชายฝั่งทะเล นิคมอุตสาหกรรมมาบตาพุด จังหวัดระยอง ในฤดูแล้ง^๙
 (31 มีนาคม 2546)

Station	Depth (m)	Transparency (m)		Temp. (°C)	Salinity (psu)	pH	DO (mg L ⁻¹)	DOC Fluorescence (Unit)	
								Humic Acid	Fulvic Acid
1	4	2.1	Surface	31.5	31	8.2	8.3	0.34	9.28
			Bottom	31	31	8.2	7.5	0.36	9.80
			Average	31.3	31	8.2	7.9	0.35	9.54
2	4	1.5	Surface	32	30	8.2	8.3	0.25	7.45
			Bottom	31	30	8.2	7.8	0.31	8.52
			Average	31.5	30	8.2	8.1	0.28	7.98
3	11.9	2.4	Surface	31	30	8.3	8.6	0.29	7.34
			Bottom	30	30	8.2	7.2	0.26	8.08
			Average	30.5	30	8.2	7.9	0.28	7.71
4	3.9	1.4	Surface	31	30	8.2	9.5	0.36	10.50
			Bottom	31	31	8.2	9.0	0.33	9.75
			Average	31	30.5	8.2	9.3	0.34	10.13
5	16	11	Surface	30	30	8.1	8.4	0.22	6.19
			Bottom	29	31	8.2	8.0	0.25	6.61
			Average	29.5	30.5	8.1	8.2	0.23	6.40
6	14.5	7	Surface	31	30	8.2	8.2	0.27	6.77
			Bottom	30	31	8.2	8.0	0.24	6.17
			Average	30.5	30.5	8.2	8.1	0.26	6.47
7	12	1.5	Surface	31	30	8.2	9.0	0.40	15.20
			Bottom	30	32	8.2	7.5	0.23	6.46
			Average	30.5	31	8.2	8.3	0.31	10.83
8	11	2.1	Surface	31	30	8.2	8.4	0.32	8.71
			Bottom	30	31	8.2	8.0	0.32	9.44
			Average	30.5	30.5	8.2	8.2	0.32	9.08

ตารางที่ 8 คุณภาพน้ำทะเลบริเวณชายฝั่งทะเล นิคมอุตสาหกรรมมาบตาพุด จังหวัดระยอง ในฤดูฝน
(2 ตุลาคม 2546)

Station	Depth (m)	Transparency (m)	Temp. (°C)	Salinity (psu)	pH	DO (mg L ⁻¹)	DOC Fluorescence (Unit)	
							Humic Acid	Fulvic Acid
1	4.3	2.1	Surface	31.2	27	8.2	8.0	0.22
			Bottom	30.8	28	8.2	6.5	0.20
			Average	31.0	27.5	8.2	7.2	0.21
2	4.7	3.2	Surface	32.6	27	8.2	6.4	0.18
			Bottom	30.2	28	8.2	6.3	0.20
			Average	31.4	27.5	8.2	6.4	0.19
3	10.6	2.4	Surface	31.3	28	8.4	9.6	0.22
			Bottom	30.3	29.3	8.2	6.0	0.19
			Average	30.8	28.7	8.3	7.8	0.20
4	4.5	0.8	Surface	31.2	26	8.3	8.6	0.36
			Bottom	30.7	27	8.3	7.9	0.25
			Average	31.0	26.5	8.3	8.2	0.30
5	8.2	5	Surface	29.9	27	8.3	6.5	0.22
			Bottom	29.6	28	8.1	6.1	0.16
			Average	29.8	27.5	8.2	6.3	0.19
6	14.5	6.2	Surface	30.3	25	8.2	6.8	0.20
			Bottom	29.6	24	8.2	6.4	0.16
			Average	30.0	24.5	8.2	6.6	0.18
7	9.5	3.4	Surface	30.0	28	8.3	6.9	0.22
			Bottom	29.6	29	8.1	6.5	0.16
			Average	29.8	28.5	8.2	6.7	0.19
8	11.2	4.5	Surface	30.3	27	8.3	6.4	0.19
			Bottom	29.9	30	8.2	6.0	0.17
			Average	30.1	28.5	8.2	6.2	0.18

สำหรับลักษณะของดินตะกอนพื้นท้องทะเลที่สำรวจพบในถูกแบ่งโดยส่วนใหญ่เป็นดินทรายและดินร่วนปนทราย มีเนื้อดินเหนียวค่อนข้างต่ำอยู่ระหว่าง 2.7 - 20.6 % ปริมาณสารอินทรีย์ในดินตะกอนพบค่อนข้างน้อย คืออยู่ในช่วง 0.38-2.43 % มีค่าความเป็นกรด-ด่าง อยู่ในช่วง 7.9 - 8.3 ปริมาณแคลเซียมคาร์บอนেตอยู่ในช่วง 0.83-17.46 % และค่าความชุ่มในการแตกเปลี่ยนประจุนากของดินหรือ CEC อยู่ระหว่าง 0.87 - 15.27 centimoles per kilogram (cmol kg^{-1}) (ตารางที่ 9) ส่วนในถูกผ่านลักษณะของดินตะกอนเป็นดินทรายและเลนปนทราย มีเนื้อดินเหนียวค่อนข้างต่ำ เช่น กันอยู่ระหว่าง 1.9 - 42.5 % ปริมาณสารอินทรีย์อยู่ระหว่าง 0.24-2.05 % ค่าความเป็นกรด-ด่างของดินตะกอนอยู่ระหว่าง 8.0-8.9 ปริมาณแคลเซียมคาร์บอนे�ตอยู่ในช่วง 1.20-13.81 % และค่า CEC อยู่ระหว่าง 1.13 – 12.77 cmol kg^{-1} (ตารางที่ 10)

จากคุณลักษณะของดินตะกอนดังกล่าว เมื่อแบ่งตามประเภทดิน (soil classes) ของ US.EPA (Boulding, 1994) จัดว่า ดินตะกอนพื้นท้องทะเลเป็นริเวณนิคมอุดตสาหกรรมมากตามดูดเป็นดินที่มีสารอินทรีย์ต่ำ (low, สารอินทรีย์ 0.5-1.0 %) ถึงต่ำปานกลาง (moderately low, สารอินทรีย์ 1.0-2.0 %) ดินตะกอนมีคุณสมบัติเป็นด่างในระดับปานกลาง (moderately alkaline, pH 7.9-8.4) ถึงต่ำสูง (strongly alkaline, pH 8.5-9.0) และมีค่า CEC อยู่ในระดับต่ำ ($< 12 \text{ cmol kg}^{-1}$) ยกเว้นสถานีที่ 3 ซึ่งอยู่บริเวณตอนในของนิคมมีค่า CEC อยู่ในระดับปานกลาง ($12 - 20 \text{ cmol kg}^{-1}$) ทั้งนี้เนื่องจากดินตะกอนมีสารอินทรีย์น้อย จึงทำให้มีค่า CEC น้อยตามไปด้วย เพราะสารอินทรีย์เป็นต้นกำเนิดของค่า CEC ในดิน (Sparks, 1995) จากลักษณะที่สำคัญโดยเฉพาะปริมาณสารอินทรีย์ เนื้อดินเหนียว และค่า CEC จึงคาดได้ว่าดินตะกอนบริเวณนี้มีความสามารถในการดูดซับสารปรอทรวมทั้งโลหะอื่นได้น้อย

ตารางที่ 9 คุณสมบัติคงคลนปริมาณของธาตุ นิคโนมุตต์สากลรัฐมนตรีตุลา จังหวัดระยอง ในฤดูฝน (31 มีนาคม 2546)

Station	pH	CaCO ₃ Equivalent (%)	Organic Matter (%)	CEC (cmol kg ⁻¹)	Total (Free) Oxides (mg g ⁻¹)		Amorphous Oxides (mg g ⁻¹)	Particle Size Distribution (%)			Texture Class	
					Fe	Mn		Fe	Mn	Sand		
1	8.0	17.46	1.15	4.27	4.39	2.23	0.207	0.130	82.9	8.0	9.2	Loamy Sand
2	8.3	2.57	0.38	0.87	1.37	0.82	0.060	0.051	95.9	1.4	2.7	Sand
3	7.8	0.86	1.75	15.27	4.52	1.32	0.071	0.057	27.0	52.4	20.6	Silt Loam
4	8.1	5.29	0.36	1.33	1.16	1.02	0.068	0.054	94.7	1.3	4.0	Sand
5	8.1	2.06	0.52	2.60	0.94	0.77	0.046	0.035	92.2	4.5	3.3	Sand
6	8.1	2.14	0.76	2.00	0.89	0.73	0.028	0.025	94.4	1.9	3.8	Sand
7	7.9	4.70	2.43	11.67	4.07	1.76	0.091	0.069	39.6	49.5	10.9	Loam
8	7.9	2.21	0.76	4.07	1.67	1.16	0.052	0.036	85.4	8.2	6.5	Loamy Sand
WW1*	7.7	1.34	1.08	4.53	6.41	0.080	3.13	0.057	90.6	1.8	7.6	Sand
WW6*	7.6	2.72	1.35	1.07	2.07	0.026	1.00	0.019	91.8	3.7	4.5	Sand

* ต้นน้ำทุกประจันท์

ตารางที่ 10 คุณสมบัติเคมีทางธรร友善และนิคมอุตสาหกรรมของดินที่หัวด้วยชลน้ำในฤดูฝน (2 ตุลาคม 2546)

Station	pH	CaCO ₃ Equivalent (%)	Organic Matter (%)	CEC (cmol kg ⁻¹)	Total (Free) Oxides (mg g ⁻¹)		Amorphous Oxides (mg g ⁻¹)	Particle Size Distribution (%)			Texture Class	
					Fe	Mn		Fe	Mn	Sand		
1	8.3	6.88	2.05	4.40	5.03	0.243	2.30	0.137	77.8	13.2	9.0	Sandy loam
2	8.3	4.60	1.29	7.89	5.43	0.239	2.68	0.165	78.9	12.7	8.4	Sandy loam
3	8.3	2.04	1.34	12.77	4.87	0.067	2.03	0.057	40.7	33.2	26.2	Loam
4	8.5	13.81	0.55	1.87	2.57	0.068	1.45	0.041	91.7	2.0	6.3	Sand
5	8.9	3.14	0.24	0.87	0.31	0.010	0.60	0.008	97.4	0.7	1.9	Sand
6	8.8	1.76	0.45	1.47	0.88	0.028	0.65	0.031	95.5	2.1	2.4	Sand
7	8.0	1.20	0.76	9.00	27.80	0.073	1.27	0.049	10.2	47.3	42.5	Silty clay
8	8.8	1.46	0.90	1.13	1.58	0.026	0.95	0.028	96.6	0.8	2.6	Sand
WW1*	7.9	5.22	5.04	12.78	22.80	0.404	7.81	0.181	77.3	13.7	9.0	Sandy loam
WW6*	7.0	0.28	1.72	6.00	7.92	0.230	3.79	0.209	54.3	27.3	18.4	Sandy loam

* สถานีศูนย์เพื่อเชิงพาณิชย์

ผลการศึกษาปริมาณprotothium ในน้ำทะเล พบร่วมกับน้ำอุ่นมากทั้ง 2 ฤดู (ตารางที่ 11) ซึ่งค่าที่ตรวจพบต่ำกว่ามาตรฐานคุณภาพน้ำชายฝั่งทะเลของไทยอย่างเท่า (ค่ามาตรฐานสารprotoที่ในน้ำทะเลของไทยกำหนดไว้ให้มีค่าไม่เกิน 0.1 ไมโครกรัมต่อลิตร) ส่วนปริมาณprotoที่ในน้ำทั้ง พบร่วมกับสูงกว่าในน้ำทะเลทั้ง 2 ฤดูและในฤดูฝนสูงกว่าฤดูแล้ง (ตารางที่ 12)

ตารางที่ 11 ปริมาณprotoที่ในน้ำทะเลบริเวณชายฝั่งทะเล นิคมอุตสาหกรรมมาบตาพุด จังหวัดระยอง ในฤดูแล้ง (31 มีนาคม 2546) และฤดูฝน (2 ตุลาคม 2546) (หน่วยเป็น ng L^{-1})

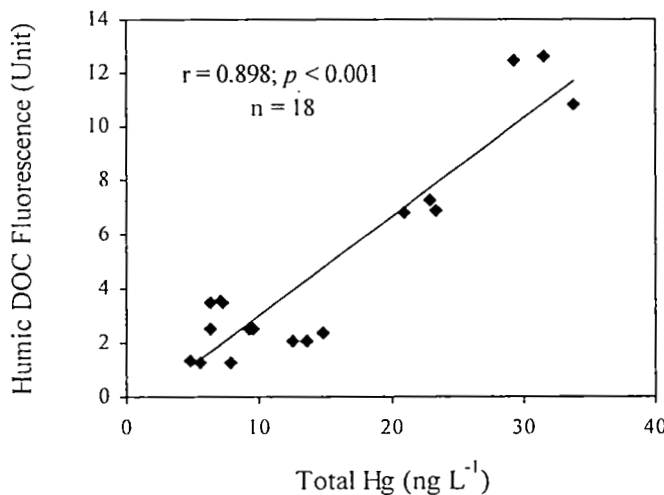
Station	Dry Season (March 2003)			Wet Season (October 2003)		
	Surface (n = 6)	Bottom (n = 6)	Mean ± SE (n = 12)	Surface (n = 6-9)	Bottom (n = 6-9)	Mean ± SE (n = 12-18)
1	2.00	2.17	2.08 ± 0.62	3.87	3.57	3.37 ± 0.37
2	3.83	3.00	3.42 ± 1.73	nd	2.25	nd
3	5.67	3.67	4.67 ± 0.69	nd	nd	nd
4	4.33	5.33	4.83 ± 1.44	4.28	4.78	4.42 ± 0.70
5	5.00	6.00	5.50 ± 1.22	7.73	5.84	7.60 ± 1.04
6	5.67	nd	nd	12.80	9.67	11.70 ± 0.97
7	4.17	2.67	3.42 ± 1.06	9.13	7.30	7.68 ± 1.03
8	4.00	4.33	4.17 ± 0.28	4.00	nd	nd

หมายเหตุ : nd = < 2 ng L^{-1}

**ตารางที่ 12 คุณภาพน้ำทางภาคบริเวณโดยรอบนิคมอุตสาหกรรมมูลค่าสูงในพื้นที่เคียงข้างๆ ในฤดูแล้ง (12 พฤษภาคม 2546) และฤดูฝน
(30 กันยายน 2546)**

Station	Location	Dry Season (May 2003)				Wet Season (October 2003)				
		Salinity (psu)	pH	DOC Fluorescence (Unit) Humic Acid	Fulvic Acid	Total Hg (ng L ⁻¹)	Salinity (psu)	pH	DOC Fluorescence (Unit) Humic Acid	Fulvic Acid (ng L ⁻¹)
WW1	คลองบางปี้ด้านที่จอดรถ	10	7.9	2.27	189.08	2.22	5	7.7	3.50	204.96
	อุตสาหกรรมเคมีและซีเมนต์									6.94
	อุตสาหกรรมและวัสดุตกแต่งบ้าน									
WW2	น้ำที่ใช้ในกระบวนการผลิตกระดาษของ นิคมอุตสาหกรรมมาตราพุด โคชัวร์ รวมกับน้ำจากโรงงานรำขันสำเภา	8	7.0	3.46	198.03	5.44	3	6.7	1.28	128.92
WW3	น้ำที่ใช้ในกระบวนการผลิตกระดาษของ นิคมอุตสาหกรรมมาตราพุด โคชัวร์	4	6.8	2.08	689.80	6.67	2	6.9	2.17	882.53
WW4	น้ำที่ใช้ในกระบวนการผลิตกระดาษจากผู้ โรงงานเด่น "อ.เจ็ต ซีรีส์บีน โกรงาง ปูชาและรองรับติดร่วมกับน้ำจาก โรงงานรำขันสำเภา (หน่วยริบบิ้ง ท่าเรือ ระยอง จำกัด Rayong Bulk Terminal Co., LTD.)"	3	7.1	3.86	218.86	7.00	1	7.5	2.53	150.01
WW5	คลองระบายน้ำที่ส่งออกน้ำคุณ อุตสาหกรรมและน้ำจากการประปา น้ำใหม่	20	7.7	1.85	143.34	5.56	1	7.4	6.997	167.35
WW6	ปากคลองตักบาตร น้ำที่ส่งจากแหล่ง น้ำใหม่	4	7.9	5.33	344.82	3.44	1	7.1	11.96	151.38
	อุตสาหกรรมมาตราพุด คลองน้ำ									31.53

นอกจากนี้ยังพบว่าปริมาณprotothiumในน้ำทึ้งที่พบสูงในถყฟันนั้นมีความสัมพันธ์กับปริมาณสารอินทรีย์ที่ละลายในรูปของ Humic acid ($r = 0.898, p < 0.001$) กล่าวคือในน้ำทึ้งที่มีสารอินทรีย์ที่ละลายในรูปของ Humic acid สูงจะพบปริมาณprotothiumสูงด้วย ดังแสดงในภาพที่ 2 ดังนั้นสารอินทรีย์ในรูปของ Humic acid จึงมีบทบาทสำคัญในการขับกับสารprotothiumได้ดีกว่า Fulvic acid



ภาพที่ 2 ความสัมพันธ์ระหว่างปริมาณprotothiumในน้ำทึ้งกับสารอินทรีย์ที่ละลายในรูปของ Humic acid ซึ่งพบในถყฟัน (2 ตุลาคม 2546)

สำหรับปริมาณprotothiumในดินตะกอนในถყแล้ง พบร่วมกับค่าอยู่ในช่วงระหว่าง 0.006-0.130 ไมโครกรัมต่อกิโลกรัม น้ำหนักแห้ง และถყฟันมีค่าอยู่ในช่วงระหว่าง $<0.0023 - 0.224$ ไมโครกรัมต่อกิโลกรัม น้ำหนักแห้ง (ตารางที่ 13) ปริมาณprotothiumในดินตะกอนที่ตรวจพบมีความแตกต่างกันขึ้นอยู่กับถყกาล และสถานี ในบริเวณสถานีไกล์ฟั่งปริมาณจะสูงกว่าสถานีไกล์ฟั่ง (ภาพที่ 3) โดยค่าสูงสุดทั้ง 2 ถყพบ บริเวณตอนในของนิคมอุตสาหกรรมมาบตาพุด (สถานีที่ 3) โดยเฉพาะจุดที่พบสูงมากอยู่บริเวณหน้า โรงงานปีโตรเคมีและในถყฟันพบสูงกว่าถყแล้ง (ภาพที่ 3) ทั้งนี้ปริมาณprotothiumในดินตะกอนที่ตรวจพบดังกล่าวมีค่าสูงกว่ามาตรฐานของสารprotothiumในดินตะกอนของบางประเทศ (ตารางที่ 14) เนื่องจาก ในขณะนี้ประเทศไทยยังไม่มีมาตรฐานของโลหะหนักในดินตะกอน

ตารางที่ 13 ปริมาณปรอทในดินตะกอนบริเวณชายฝั่งทะเล นิคมอุตสาหกรรมมานตาพุด จังหวัดระยอง ในฤดูแล้ง (31 มีนาคม 2546) และฤดูฝน (2 ตุลาคม 2546) (ค่าเฉลี่ย ± ความคลาดเคลื่อนมาตรฐาน) ($n = 6$)

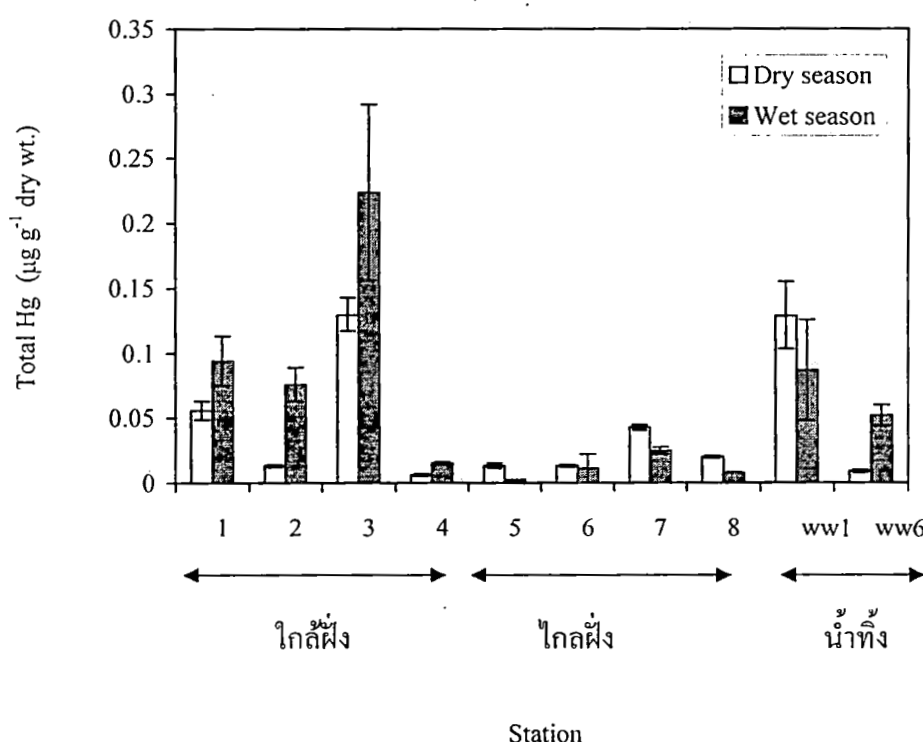
Station	Dry Season (March 2003)			Wet Season (October 2003)		
	Total Hg ($\mu\text{g g}^{-1}$ dry wt.)	Bioavailable Hg ($\mu\text{g g}^{-1}$ dry wt.)	% of Total Hg	Total Hg ($\mu\text{g g}^{-1}$ dry wt.)	Bioavailable Hg ($\mu\text{g g}^{-1}$ dry wt.)	% of Total Hg
1	0.056 ± 0.007	< 0.00025	< 0.4	0.094 ± 0.019	0.00026	0.3
2	0.013 ± 0.001	0.0016	11.9	0.076 ± 0.013	0.00086	1.1
3	0.130 ± 0.013	0.0016	1.2	0.224 ± 0.068	0.00052	0.2
4	0.006 ± 0.0009	< 0.00025	< 4.2	0.015 ± 0.0009	< 0.00025	< 1.7
5	0.013 ± 0.002	0.00051	3.9	< 0.0023	0.00051	< 22.2
6	0.013 ± 0.001	0.0014	11.0	0.011 ± 0.001	0.00151	13.7
7	0.043 ± 0.002	< 0.00025	< 0.6	0.025 ± 0.003	0.00079	3.2
8	0.020 ± 0.001	0.0009	4.5	0.008 ± 0.0004	0.00143	17.9
WW1*	0.129 ± 0.026	0.0007	0.5	0.087 ± 0.039	0.00060	0.7
WW6*	0.009 ± 0.001	< 0.00025	< 2.8	0.052 ± 0.008	0.00109	2.1

* สถานีจุดปล่อยน้ำเสีย

ตารางที่ 14 เกณฑ์มาตรฐานของสารป्रอหในน้ำทะเลและดินตะกอน

Standard/Guideline	Total mercury		Reference
	Seawater ($\mu\text{g L}^{-1}$)	Sediment ($\mu\text{g g}^{-1}$ dry wt.)	
Thai Coastal Water Quality Standard	0.1		Pollution Control Department (1997)
ASEAN Marine Water Quality Criteria			Deocadiz et al. (1999)
- For protection of aquatic life	0.16		
- For protection of human health from seafood consumption	0.04		
- For protection of human health from recreational activities	21		
Average shale	0.4		Turekian and Wedepohl (1961)
Earth's crust	0.08		Riley and Chester 1971)
Average crustal abundance	0.08		Taylor (1964)
Sediment Quality Standard for the State of Washington	0.41		Ginn and Pastorok (1992)
Draft Interim Canadian Marine Sediment Quality Guideline	0.13		Environment Canada (1995)
Draft Interim Canadian Freshwater Sediment Quality Guideline	0.174		Environment Canada (1995)
Florida DEP ¹ Sediment Quality Guidelines – Threshold Effect Level	0.13		MacDonald (1994) อ้างตาม กรมควบคุมมลพิษ (2546)
Florida DEP ² Sediment Quality Guidelines – Probable Effect Level	0.7		
HongKong ³ Draft Sediment Quality Guidelines - Lower	0.5		HKGS (1998) อ้างตาม กรมควบคุมมลพิษ (2546)
HongKong ⁴ Draft Sediment Quality Guidelines - Higher	1		
Australia and New Zealand Draft Interim Sediment Quality Guidelines – Lower ¹	0.15		ANZECC (1998) อ้างตาม กรมควบคุมมลพิษ (2546)
Australia and New Zealand Draft Interim Sediment Quality Guidelines – Lower ²	1		

- หมายเหตุ¹ = ค่าความเข้มข้นที่ไม่มีความเป็นพิษต่อสิ่งมีชีวิต (Threshold Effect Level, TEL)
- ² = ค่าความเข้มข้นที่อาจจะมีความเป็นพิษต่อสิ่งมีชีวิต (Probable Effect Level, PEL)
- ³ = ค่าความเข้มข้นที่สามารถทำการขุดลอกตะกอนดินได้
- ⁴ = ค่าความเข้มข้นที่สามารถขุดลอกตะกอนดินได้โดยต้องผ่านการศึกษาผลกระทบสิ่งแวดล้อม



ภาพที่ 3 ปริมาณproxทรวมในดินตะกอนบริเวณนิคมอุตสาหกรรมมาบตาพุด ในฤดูแล้ง (31 มีนาคม 2546)
และฤดูฝน (2 ตุลาคม 2546) (ค่าเฉลี่ย ± ความคลาดเคลื่อนมาตรฐาน, n=6)

อย่างไรก็ตาม ปริมาณprotothrum ไม่ได้เป็นค่าบ่งบอกถึงผลกระทบที่จะมีต่อสิ่งมีชีวิตหรือสิ่งแวดล้อมได้ เนื่องจากไม่ได้เป็นปริมาณที่สามารถเข้าสู่สิ่งมีชีวิตได้ทั้งหมด จึงได้ทำการวิเคราะห์หาปริมาณprotoที่สามารถเข้าสู่สิ่งมีชีวิตได้ (bioavailable form) และพบว่ามีค่าน้อยมาก โดยในดินโดยเฉลี่ยค่าอยู่ระหว่าง $<0.4 - 12\%$ ของปริมาณprotothrum และดินโดยเฉลี่ยมีค่าอยู่ระหว่าง $0.2 - <22.2\%$ ของปริมาณprotothrum (ตารางที่ 13) ดังนั้นถึงแม่ตรวจพบปริมาณprotothrum ในดินตะกอนสูงบางสถานี แต่ปริมาณprotoที่ตรวจพบนี้ไม่ได้อยู่ในรูปที่เป็นอันตรายต่อสิ่งมีชีวิตหรือมีแต่น้อยมากๆ ผลการศึกษานี้สอดคล้องกับการศึกษาของ Thongra-ar (2001) ซึ่งพบว่าปริมาณprotoที่อยู่ในรูปแบบที่เข้าสู่สิ่งมีชีวิตได้ในดินตะกอนบริเวณแม่น้ำบางปะกงมีค่าน้อยเช่นกัน แต่น้อยกว่าดินตะกอนบริเวณมาบตาพุด กล่าวคือไม่เกิน 10 % ของปริมาณprotothrum เท่านั้น เนื่องจากดินตะกอนบริเวณบางปะกงเป็นดินเหนียวและมีสารอินทรีย์ค่อนข้างสูง

จากการศึกษาความสัมพันธ์ระหว่างปริมาณprotothrum ในดินตะกอนและคุณสมบัติบางประการของดินตะกอน พบร่วมกับในดินโดยเฉลี่ยปริมาณproto มีความสัมพันธ์ทางบวกค่อนข้างสูงมากกับอุ่นหีดของเหล็ก รองลงมา คือ ปริมาณดินเหนียว สารอินทรีย์ และออกไซด์ของแมงกานีส ตามลำดับ (ตารางที่ 15) ส่วนปริมาณprotothrum ในดินโดยเฉลี่ยมีความสัมพันธ์ทางตรงค่อนข้างสูงกับอุ่นหีดของเหล็กในรูปของ amorphous Fe oxides รองลงมาได้แก่ ปริมาณสารอินทรีย์ ดินเหนียว และออกไซด์ของแมงกานีส ตามลำดับ (ตารางที่ 16) จากความสัมพันธ์ดังกล่าว แสดงให้เห็นว่า อุ่นหีดของเหล็กเป็นองค์ประกอบในดินตะกอนบริเวณมาบตาพุดที่มีบทบาทสูงมากในการดูดซับสารprotothrum กว่าองค์ประกอบอื่นในดินตะกอน ทั้งนี้เนื่องจากออกไซด์ของเหล็ก รวมทั้งของแมงกานีส และอะลูมิโนzem มีพื้นที่ผิว (specific surface areas) สูงมาก พนอยู่ในดินในรูปของ suspended particles และเคบบันผิวของ clay minerals และสารอินทรีย์ (humic substances) หรืออยู่ในรูป mixed gels (Sparks, 1995) เนื่องจากมีความว่องไว (reactivity) สูงมาก จึงเป็นตัวดูดซับ (adsorbent) ที่มีพลังสูงมาก (Bourg and Loch, 1995) ในการดูดซับโดยเหล็กหรือตกลงตะกอนร่วม (coprecipitate) กับ cations และ anions ในสารละลายน้ำ (Alloway, 1995) นอกจากนี้ ออกไซด์ของเหล็กเหล่านี้สามารถเปลี่ยนแปลงประจุได้ตามค่าของความเป็นกรด-ด่าง (pH-dependent charge) ซึ่งโดยทั่วไปจะมีประจุลบในสารละลายน้ำที่เป็นด่าง และมีประจุบวกในสารละลายน้ำที่เป็นกรด (Alloway, 1995)

ปริมาณprotoที่พบทั้ง 2 ดินยังมีความสัมพันธ์ทางบวกค่อนข้างสูงมากกับค่า CEC ของดินตะกอนด้วย (ตารางที่ 15 และ 16) จึงอาจเป็นไปได้ว่าการดูดซับของสารprotothrum ในดินตะกอนบริเวณนี้เกี่ยวข้องกับกระบวนการ cation exchange (Semu et al., 1986) นอกจากนี้ยังพบความสัมพันธ์ทางลบระหว่างปริมาณprotoที่กับค่าความเป็นกรด-ด่างของดินตะกอนอีกด้วยในทั้ง 2 ดิน แสดงว่าprotothrum ในดินตะกอนจะสูงเมื่อค่าความเป็นกรด-ด่างของดินลดต่ำลง สอดคล้องกับการศึกษาของ Yin et al. (1996) ซึ่งพบว่า protothrum สามารถดูดซับได้ในดินที่มีสารละลายน้ำเป็นกรด เนื่องจากที่ความเป็นกรด-ด่างต่ำจะพบพวก positively charged Hg species มาก ทำให้สารprotothrum ได้มากขึ้น

ตารางที่ 15 ค่าสัมบูรณ์สิทธิ์สหสัมพันธ์ระหว่างปริมาณธาตุในดินต่อกันและกับตัวอย่างดินต่างกันในฤดู旱 (31 มีนาคม 2546)

(n = 48 ยกเว้น CEC = 24)

	Total Hg	Avai. Hg	pH	CaCO ₃	Organic Matter	CEC	Total Fe Oxides	Amorp. Fe	Total Mn Oxides	Amorp. Mn	Clay
Total Hg	1.000										
Avai. Hg	0.157	1.000									
pH	-0.719**	0.188	1.000								
CaCO ₃	-0.013	-0.483**	-0.091	1.000							
Organic Matter	0.570**	-0.068	-0.629**	0.040	1.000						
CEC	0.820**	0.117	-0.768**	-0.150	0.820**	1.000					
Total Fe Oxides	0.804**	-0.217	-0.696**	0.343*	0.726**	0.796**	1.000				
Amorp. Fe	0.452**	-0.414**	-0.537**	0.658**	0.618**	0.473*	0.795**	1.000			
Total Mn Oxides	0.294*	-0.442**	-0.292*	0.875**	0.265	0.143	0.642**	0.869**	1.000		
Amorp. Mn	0.327*	-0.439**	-0.302*	0.750**	0.339*	0.204	0.657**	0.857**	0.915**	1.000	
Clay	0.653**	-0.177	-0.601**	0.032	0.302*	0.543**	0.615**	0.205	0.150	0.144	1.000

* , ** : Significant at p = 0.05 and 0.01 respectively

248938

ตารางที่ 16 ค่าถดถ้วนปรับระดับเพื่อระบุว่าปริมาณของตัวแปรทางเคมีต่างๆ แต่ละตัวแปรที่มีความสัมพันธ์กับปริมาณ汞ในดินต่างๆ ตามที่ได้ระบุไว้ในตารางที่ 16 (2 ตุลาคม 2546)

(n = 48 ยกเว้น CEC = 24)

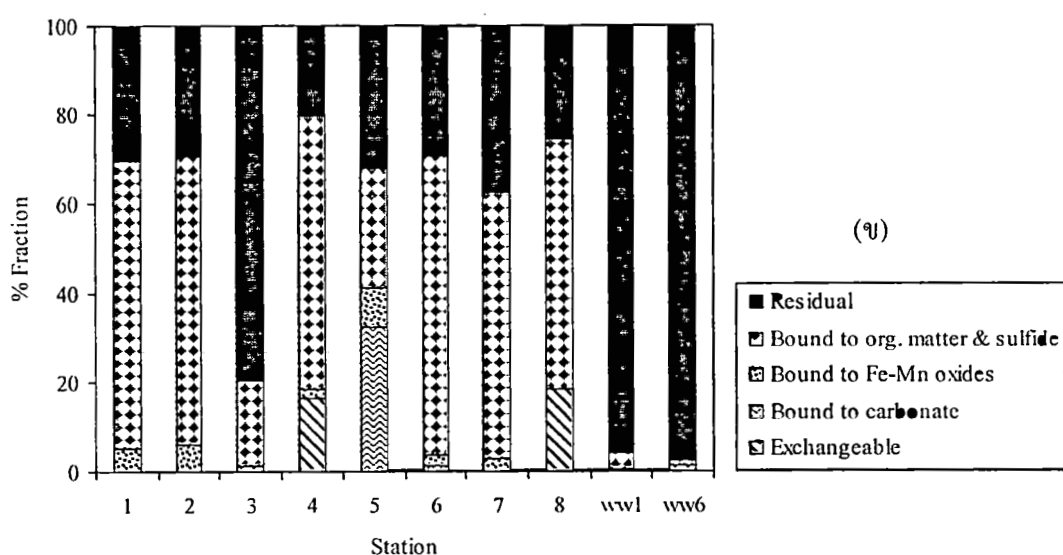
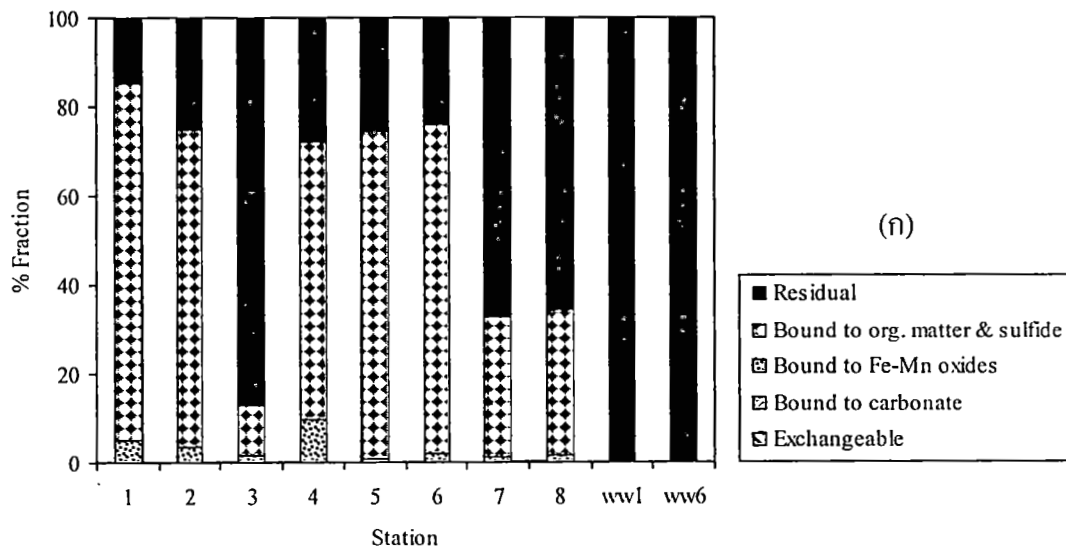
	Total Hg	Avai. Hg	pH	CaCO ₃	Organic Matter	CEC	Total Fe Oxides	Amorp. Fe	Total Mn Oxides	Amorp. Mn	Clay
Total Hg	1.000										
Avai. Hg	-0.312*	1.000									
pH	-0.490**	0.397**	1.000								
CaCO ₃	-0.138	-0.576**	-0.080	1.000							
Organic Matter	0.448**	-0.343*	-0.472**	0.013	1.000						
CEC	0.858**	-0.217	-0.733**	-0.275	0.262	1.000					
Total Fe Oxides	0.049	-0.104	-0.714**	-0.216	0.078	0.485*	1.000				
Amorp. Fe	0.704**	-0.437**	-0.685**	0.243	0.551**	0.665**	0.154	1.000			
Total Mn Oxides	0.373**	-0.360*	-0.592**	0.292*	0.562**	0.351	0.135	0.874**	1.000		
Amorp. Mn	0.421**	-0.271	-0.593**	0.187	0.617**	0.414*	0.114	0.881**	0.965**	1.000	
Clay	0.384**	-0.143	-0.732**	-0.299*	0.119	0.697**	0.812**	0.231	0.053	0.061	1.000

* , ** : Significant at $p = 0.05$ and 0.01 respectively

สำหรับการศึกษารูปแบบทางธรณีเคมี (geochemical forms) ของสารปรอทในดินตะกอนได้ทำการศึกษาโดยใช้วิธี sequential extraction เพื่อสกัดสารปรอทออกมานเป็น 5 รูปแบบ คือ exchangeable, bound to carbonate, bound to Fe and Mn oxides, bound to organic matter and sulfide และ residual โดยปกติแล้วปรอทในสารรูปแบบแรกจะเป็นอันตรายต่อสิ่งมีชีวิต เนื่องจากสารอุดตันที่จะถูกปลดปล่อยออกจากดินตะกอนได้ง่ายเมื่อมีการเปลี่ยนแปลงของปัจจัยแวดล้อมที่อยู่โดยรอบ เช่น ความเป็นกรด-ด่าง ความเค็ม redox potential ฯลฯ (Gomez-Parra et al., 2000) ผลการศึกษาระบบนี้พบว่าสารปรอทในดินตะกอนมีอยู่สองรูปแบบที่สำคัญ คือ รูปที่จับรวมตัวกับสารอินทรีย์และซัลไฟด์ (bound to organic matter and sulfide) และรูปแบบที่อยู่ในโครงสร้างของแร่ธาตุในดิน (residual) โดยในดินแล้ว พบปริมาณปรอทในรูปที่จับรวมตัวกับสารอินทรีย์และซัลไฟด์อยู่ในช่วงระหว่าง 11.3-79.8 % และในรูปแบบที่อยู่ในโครงสร้างของแร่ธาตุในดินอยู่ในช่วงระหว่าง 14.9-67.1 % ส่วนในดินฟุ่นพบปรอทในรูปที่จับรวมตัวกับสารอินทรีย์และซัลไฟด์อยู่ในช่วงระหว่าง 19.3-67.2 % และในรูปแบบที่อยู่ในโครงสร้างของแร่ธาตุในดิน 29.1-79.4 % (ภาพที่ 4) ปริมาณปรอททั้งสองรูปแบบนี้ไม่เป็นอันตรายต่อสิ่งมีชีวิต ผลการศึกษาจึงสอดคล้องกับการวิเคราะห์หาปริมาณปรอทที่อยู่ในรูปแบบที่เข้าสู่สิ่งมีชีวิตได้ (bioavailable form) โดยสกัดตัวอย่างด้วย 0.5 N HCl ซึ่งตรวจพบว่ามีค่าน้อยมากดังแสดงในตารางที่ 13 ส่วนบริเวณสถานีที่เป็นจุดปล่อยน้ำทิ้ง (WW1 และ WW6) พบว่า ปรอทเกือนทั้งหมดอยู่ในโครงสร้างของแร่ธาตุในดิน

ดังนั้น ถึงแม้ว่าได้ตรวจพบปริมาณปรอทในดินตะกอนบริเวณมาบตาพุดสูงกว่าค่ามาตรฐานของบางประเทศในบางสถานี แต่ปริมาณปรอทที่ตรวจพบไม่ได้อยู่ในรูปที่เป็นอันตรายต่อสิ่งมีชีวิต

โดยสรุปแล้วการปนเปื้อนของสารปรอทในน้ำทะเลและดินตะกอนบริเวณนิคมอุตสาหกรรมมาบตาพุดอยู่ในระดับที่ไม่เป็นอันตรายต่อสิ่งมีชีวิตถึงแม้จะพบสูงในดินตะกอนบางสถานีและในบางฤดูกาลก็ตาม



ภาพที่ 4 รูปแบบทางเคมีของสารprotoในดินตะกอนบริเวณนิคมอุตสาหกรรมนาบตาพุด จังหวัด
ระยอง (ก) ฤดูแล้ง (31 มีนาคม 2546) (ข) ฤดูฝน (2 ตุลาคม 2546)

เอกสารอ้างอิง

กรมควบคุมมลพิษ. 2546. ทะเลไทย...วันนี้. ส่วนแหล่งน้ำทะเล สำนักจัดการคุณภาพน้ำ กรมควบคุมมลพิษ. 180 น.

Alloway, B.J. 1995. Soil processes and the behavior of metals. In: Alloway, B.J. (ed.). *Heavy Metals in Soils*. London: Blackie Academic and Professional. p.11-37.

Boulding, J.R. 1994. *Description and Sampling of Contaminated Soils: A Field Guide*. 2nd edition. Boca Raton: Lewis Publishers.

Bourg, A.C.M. and Loch, J.P.G. 1995. Mobilization of heavy metals as affected by pH and redox conditions. In: Salomons, W. and Stigliani, W.M. (eds.). *Biogeodynamics of Pollutants in Soils and Sediments: Risk Assessment of Delayed and Non-Linear Responses*. New York: Springer-Verlag. p. 87-102.

Bryan, G. W., and Langston, W.J. 1992. Bioavailability, accumulation and effects of heavy metals in sediments with special reference to United Kingdom estuaries: a review. *Environ. Pollut.* 76: 89-131.

Chester, R. and Voutsinou, F.G. 1981. The initial assessment of trace metal pollution in coastal sediments. *Mar. Pollut. Bull.* 12: 84-91.

Chongprasith, P., Wilairatanadilok, W. and Rattikhansukha, C. 1995. Environmental studies in management of the Upper Gulf of Thailand. In: Watson, D., and Ong, K.S. (eds.). *ASEAN-Canada Marine Environmental Quality Technical Papers and Mission Report*. Contributions of the ASEAN-Canada Technical Mission to the Coastal Zone Canada'94 Conference (21-23 September 1994), Halifax, Canada. EVS Environment Consultants, Vancouver and Department of Fisheries, Malaysia. p. 62-73.

Deocadiz, E.S., Diaz, V.R. and Otico, P.F.J. 1999. ASEAN marine water quality criteria for mercury. In: McPherson, C.A., Chapman, P.M., Viger, G.A. and Ong, K.S. (eds.). *ASEAN Marine Water Quality Criteria: Contextual Framework, Principle, Methodology and Criteria for 18 Parameters*. ASEAN Marine Environmental Quality Criteria - Working Group (AMEQC- WG), ASEAN-Canada Cooperative Programme on Marine Science - Phases II (CPMS-II). EVS Environment Consultants, North Vancouver and Department of Fisheries, Malaysia. p. XIII-1 - XIII-34.

Environment Canada 1995. *Interim Sediment Quality Guidelines*. Soil and Sediment Quality Section, Guidelines Division, Ecosystem Conservation Directorate Evaluation and Interpretation Branch, Ottawa, Ontario. 10 p.

EVS Environment Consultants. 1999. *Heavy Metals and Petroleum Hydrocarbon Contamination in Industrial Areas*. Final report. Prepared for Pollution Control Department. Bangkok, Thailand. 230 p.

- Ginn, T.C., and Pastorok, R.A., 1992. Assessment and management of contaminated sediments in Puget Sound. In: Burton, G.A. (ed.). *Sediment Toxicity Assessment*. Boca Raton: Lewis Publishers. p. 371-401.
- Gomez-Parra, A., Forja, J.M., Delvalls, T.A., Saenz, I. and Riba, I. 2000. Early contamination by heavy metals of the Guadalquivir estuary after the Aznalcollar mining spill (SW Spain). *Mar. Pollut. Bull.* 40: 1115-1123.
- Goh, T.B., Arnaud, R.J.St. and Mermut, A.R. 1993. Carbonates. In: Carter, M.R. (ed.). *Soil Sampling and Methods of Analysis*. Canadian Society of Soil Science. Boca Raton: Lewis Publishers. p. 177-185.
- Hayase, K. And Tsubota, H. 1985. Sedimentary humic acid and fulvic acid as fluorescent organic materials. *Geochim. Cosmochimica Acta*. 49: 159-163.
- Hillel, D. 1998. *Environmental Soil Physics*. San Diego: Academic Press.
- Luoma, S.N., 1983. Bioavailability of trace metals to aquatic organisms- a review. *Sci. Total Environ.* 28: 1-22.
- Nelson, D.W. and Sommers, L.E. 1982. Total carbon, organic carbon and organic matter. In: Page, A.L., Miller, R.H. and Keeney, D.R. (eds.). *Method of Soil Analysis, Part II. Chemical and Microbiological Properties*. 2nd edition. American Society of Agronomy, Inc. and Soil Science Society of America, Inc. Publishers, Madison, Wisconsin, USA. p. 539-579.
- Pollution Control Department. 1997. *Water Quality Criteria & Standards in Thailand*. Ministry of Science, Technology and Environment. Thailand. 160 p.
- Riley, J.P., and Chester, R., 1971. *Introduction to Marine Chemistry*. London: Academic Press.
- Ross, G.J. and Wang, C. 1993. Extractable Al, Fe, Mn, and Si. In: Carter, M.R. (ed.). *Soil Sampling and Methods of Analysis*. Canadian Society of Soil Science. Boca Raton: Lewis Publishers. p. 239-241.
- Semu, E., Singh, B.R. and Selmer-Olsen, A.R. 1986. Adsorption of mercury compounds by tropical soils. I. Adsorption in soil profiles in relation to their physical, chemical, and mineralogical properties. *Water Air Soil Pollut.* 27: 19-27.
- Sheldrick, B.H. and Wang, C. 1993. Particle size distribution. In: Carter, M.R. (ed.). *Soil Sampling and Methods of Analysis*. Canadian Society of Soil Science. Boca Raton: Lewis Publishers. p. 499-511.
- Sparks, D.L. 1995. *Environmental Soil Chemistry*. San Diego: Academic Press.
- Taylor, S.R. 1964. The abundance of chemical elements in the continental crust- a new table. *Geochim Cosmochim Acta*. 28: 1273-1285.

Tessier, A., Campbell, P.G.C., and Bisson, M. 1979. Sequential extraction procedure for the speciation of particulate trace metals. *Anal. Chem.* 51:844-851.

Thongra-ar, W. 2001. Fate of Mercury in Sediments of the Bangpakong River Estuary and Its Toxicity as Influenced by Salinity. D.Tech.Sc.Thesis, Asian Institute of Technology. 190 p.

Turekian, K.K. and Wedepohl, K.H. 1961. Distribution of the elements in some major units of the Earth's crust. *Geol. Soc. Amer. Bull.* 72: 175-192.

Yin, Y., Allen, H.E., Li, Y., Huang, C.P. and Sanders, P.F. 1996. Adsorption of mercury(II) by soil: Effects of pH, chloride, and organic matter. *J. Environ. Qual.* 25: 837-844.